

Pastato kintamo šiluminio režimo modeliavimas

Jonas Pagojus

*Kauno technologijos universitetas,
Architektūros ir statybos institutas,
Tunelio g. 60, LT-44405 Kaunas*

Panaudojus pastato nestacionariniø ūlumos mainø matematiná modelá iðreikðtà diferencialiniø lygëiø sistema, sudarytas kompiuterinis modelis ir, priklausomai nuo pastato konstrukciniø sprendimø (atitvarø, vidaus konstrukcijø, ūldymo sistemos), iðorës oro temperatûros, ūlumneðio temperatûros, sumodeliuotas pastato patalpo mikroklimatas. Pateikiami dviejo daugiaaukðeiø gyvenamøjø namø ūluminio režimo modeliavimo rezultatai. Modeliavimui ir jo rezultatams patikrinti panaudoti natûriniø tyrimø duomenys: vidaus oro, iðorës oro, ūlumneðio temperatûro kitimas bei ūlumos suvartojimas. Pagal iðmatuotas ūlumneðio ir iðorës oro temperatûras, apskaiðiuotas vidaus oro temperatûros kitimas; pagal numatyta vidaus oro temperatûros vertæ nustatyta, kaip kinta ūlumos ðaltinio temperatûra, kai reguliuojama pagal iðorës temperatûrą; taip pat apskaiðiuotos ūlumos sânaudos ūldymui per tam tikrâ laikotarpâ Modeliavimo rezultatai palyginti su natûriniø tyrimø duomenimis. Taip pat pateikiamas vidaus oro temperatûros kitimas vëjo greièio ir saulës spinduliuotës atþvilgiu. Palyginimas rodo, kad turimas modelis gerai iðreiðkia pastato konstrukciniø sprendimø, iðorës oro temperatûros, ūldymo sistemos darbo režimo áatakà jo ūluminei bûsenai.

Raktapodþiai: pastatas, ūlumos mainai, dinaminis modelis, oro temperatûra, ūldymas, kompiuterinis modeliavimas

1. ÁVADAS

Pastato ūluminis režimas priklauso ne vien nuo ūlumos nuostoliø per atitvaras, ūlumos srauto nuo ūldymo prietaisø, kitø ūlumos pritekëjimø, iðorës veiksniø (vëjo greièio, saulës spinduliuotës), bet ir nuo visø pastatà sudaranèiø elementø (atitvarø, vidaus konstrukcijø, ūldymo sistemos) ūlumos talpos. Atliekama daug tyrimø [1–3], kuriais siekiama rasti optimalius pastatø konstrukcijø variantus, ūldymo, kondicionavimo sistemø valdymo algoritmus, kad bûto sumapintos energijos sânaudos ir patalpose bûto uþtikrintos reikiamas komforto sâlygos.

Pastato ūlumos suvartojimo, vidaus mikroklimato parametru, priklausanèiø nuo pastato konstrukcijø bei iðorës klimato sâlygø, analizë gali bûti atliekama tiriant realius pastatus arba taikant ávairius modeliavimo metodus, modelius ar kompiuterines priemones, kuriø panaudojimas leidþia kur kas greièiau ir ekonomiðkiau nei eksperimentiðkai tirti pastatuose vykstanèius ūluminius procesus. Tokios priemonës sëkmingai taikomos parenkant izoliacines medþpiagas, analizuojant ūldymo, vëdimimo, kondicionavimo sistemø valdymo bûdus, parenkant ðiø sistemø variantus ir optimalias galias, kad patalpose bûto palaikomi komfortiniai mikroklimato parametrai ir maþinamos energijos sânaudos.

Ðiame darbe pastato patalpo mikroklimato ir ūlumos suvartojimo priklausomybei nuo pastato kon-

strukcijø, ūldymo sistemos, iðorës veiksniø nustatyti panaudotas pastato nestacionariniø ūlumos mainø matematinis modelis ir natûriniø tyrimø duomenys.

2. TYRIMØ OBJEKTAI IR METODIKA

Darbo tikslas – patikrinti, kaip turimas matematinis modelis atitinka realias sâlygas. Tam panaudoti Architektûros ir statybos instituto darbuotojø 2000 m. vasario–kovo mén. atlikto penkiø daugiaaukðeiø gyvenamøjø namø energetinio auditø duomenys [4, 5]. Ëia apraðomi du pastatai ir pateikiami jø rezultatai.

2.1. Pastatai

Pastatas Nr. 1: 9 aukðtø, 54 butø

Skaiðiavimams priimta:

keramzitbetonio plokðeiø sienos, $A = 2430 \text{ m}^2$, $R = 0,74 \text{ m}^2 \text{ K/W}$; suporinti langai, $A = 566,4 \text{ m}^2$, $R = 0,4 \text{ m}^2 \text{ K/W}$; stogas – plokðeias, $A = 489 \text{ m}^2$, $R = 1,4 \text{ m}^2 \text{ K/W}$; grindys á rûsâ, $A = 489 \text{ m}^2$, $R = 0,7 \text{ m}^2 \text{ K/W}$; šildomas plotas – $3514,32 \text{ m}^2$;

šildymo sistemos galia – 375 kW ;

Pastatas Nr. 2: 9 aukðtø, 36 butø

Skaiðiavimams priimta:

sienos – keraminiø plytø mûro, $A = 1770,2 \text{ m}^2$, $R = 0,9 \text{ m}^2 \text{ K/W}$; fragmentai ið keramzitbetonio plokðeiaø $A = 675,2 \text{ m}^2$, $R = 0,8 \text{ m}^2 \text{ K/W}$; suporinti langai, $A = 436,5 \text{ m}^2$, $R = 0,4 \text{ m}^2 \text{ K/W}$; stogas – plokðeias, $A = 351,3 \text{ m}^2$, $R = 1,3 \text{ m}^2 \text{ K/W}$; grindys á rûsâ

$A = 351,3 \text{ m}^2$, $R = 0,7 \text{ m}^2 \text{ K/W}$; šildomas plotas – $2107,21 \text{ m}^2$; šildymo sistemos galia – 225 kW ;

Modeliavimas atlirkas esant tokiomis pačioms sąlygomis, kaip ir natūrinių tyrimo metu, t. y. panau-dotos faktinė išorės oro, vidaus oro ir šilumnečio temperatūros, ávertinama oro maino (dél védinimo ir infiltracijos) bei saulės spinduliuotės átakai.

2.2. Metodika

Bet kurio pastato šilumos maino vyksmà (šilumos balansà) bei atskirø jo elementø temperatūros kitimà apraðo diferencialiniø lygèiø sistema [6]:

– apibendrinta šilumos ðaltinio (ðildymo sistemos) temperatûra – vidutinë šilumnečio ir sistemos vamzdynø, ðildymo prietaisø temperatûra

$$\frac{d\theta_s}{dt} = k_s - m_s \cdot (\theta_s - \theta_i), \quad (1)$$

– apibendrinta vidaus oro ir vidiniø konstrukcijø temperatûra

$$\frac{d\theta_i}{dt} = \frac{1}{\mu_c} \cdot [m_s \cdot (\theta_s - \theta_i) - \mu_1 \cdot m_1 \cdot (\theta_i - \theta_1)], \quad (2)$$

– apibendrinta atitvariniø konstrukcijø temperatûra

$$\frac{d\theta_1}{dt} = m_1 \cdot (\theta_i - \theta_1) - m_{1e} \cdot (\theta_1 - \theta_e), \quad (3)$$

– išorės oro temperatûra

$$\theta_e = \theta_{evid.} + A_{\theta_e} \cdot \sin \frac{2\pi \cdot t}{T}; \quad (4)$$

éia θ_s , θ_i , θ_1 , θ_e – atitinkamai šilumos ðaltinio, vidaus oro, iðoriniø atitvarø ir iðorës oro temperatûra °C; $\theta_{evid.}$ – vidutinë iðorës oro temperatûra °C; A_{θ_e} – iðorës oro temperatûros svyravimo amplitudë °C; T – svyravimo periodas h; t – laikas h; k_s – šilumos šaltinio šilimo (kaitimo) greitis K/h; m_s – šilumos šaltinio aušimo tempas 1/h; m_1 – atitvarø konstrukcijø šilimo tempas 1/h; m_{1e} – atitvarø konstrukcijø auðimo tempas 1/h; μ_c – tariamoji pastato vidiniø konstrukcijø šilumos talpa; μ_1 – tariamoji pastato iðoriniø konstrukcijø šilumos talpa.

Dydis m iðreiðkia, kurià akumuliujotos šilumos dalá sudaro kiekvienas elementas šilumà atiduodanèio kûno (ðildymo sistemas) atþvilgiu, esant vieno laipsnio temperatûrø skirtumui. Lygèiø sistemoje šilumos srautai tarp kûnø yra proporciniø temperatûrø skirtumui tarp jø ir kiekvieno atskiro elemento šiluminè bûsenai priklauso nuo šilimo bei auðimo tempo: šilumos ðaltinio temperatûra (1) priklauso nuo jo kaitimo intensyvumo bei auðimo tempo; vidaus oro temperatûra (2) priklauso nuo ðildymo sistemas auðimo tempo (oro šilimo intensyvumo), vidiniø konstrukcijø šilumos talpos ir iðoriniø atitvarø šilimo tempo; atitvarø temperatûra (3) priklauso nuo jø šilimo bei auðimo tempo. Dydis m savo ruoþtu priklauso nuo kûno medþiagos fiz-

niø šiluminio savybiø, formos ir matmenø bei šilumos maino ant pavirðiaus.

Pagrindiniai ðio darbo tikslai, sprendþiant pateiktà lygèiø sistemà, yra:

1. Priklasomai nuo pastato konstrukcijø šilumos talpos, iðorës oro temperatûros svyravimo, šilumos ðaltinio darbo nustatyti vidaus oro temperatûros kitimà.

2. Nustatyti šilumos ðaltinio darbo reþimà, kad patalpose pagal grafikà bûtø palaikoma numatyta temperatûra, bei apskaièiuoti energijos sànaudas.

Šiems uþdaviniams spræsti panaudotas procesø modeliavimo programinis paketas MATLAB [7]. Vidaus oro temperatûros kitimui nustatyti lygèiø sistema supaprastinama:

$$\begin{cases} \frac{d\theta_i}{dt} = \frac{1}{\mu_c} \left[m_s \cdot (\theta_s - \theta_i) - \mu_1 \cdot m_1 \cdot (\theta_i - \theta_1) \right], \\ \frac{d\theta_1}{dt} = m_1 \cdot (\theta_i - \theta_1) - m_{1e} \cdot (\theta_1 - \theta_{efakt.}); \end{cases} \quad (5)$$

éia $\theta_{svid.fakt.}$ – natûriniø stebëjimø metu nustatyta vidutinë šilumnečio temperatûra (tiekiamas ir gràptamos temperatûrø vidurkis) °C; $\theta_{efakt.}$ – tyrimø metu iðmatuota iðorës oro temperatûra °C.

Antram uþdaviniui spræsti lygèiø sistema bus tokiā:

$$\begin{cases} \frac{d\theta_s}{dt} = k_s - m_s (\theta_s - \theta_i), \\ \frac{d\theta_i}{dt} = \frac{1}{\mu_c} [m_s (\theta_s - \theta_i) - \mu_1 m_1 (\theta_i - \theta_1)], \\ \frac{d\theta_1}{dt} = m_1 (\theta_i - \theta_1) - m_{1e} (\theta_1 - \theta_{efakt.}). \end{cases} \quad (6)$$

Analitiðkai apskaièiuotos lygèiø sistemos koeficientø skaitinës reikðmës abiems pastatams pateikiamais 1 lentelëje. Die koeficientai yra santykiniai dyðbiai, ávertinantys visø pastatà sudaranèiø elementø fizines savybes, pastato šilumos nuostolius, vidinius šilumos pritekëjimus, saulës spinduliuotę, oro mai-nus.

Saulës spinduliuotës ir oro maino átakai vidaus oro temperatûrai bei šilumos sànaudoms ávertinti ta-

1 lentelë. Koeficientø skaitinës reikðmës

Koeficientas	Reikðmë	
	pastatas Nr. 1	pastatas Nr. 2
k_s	30,42	29,30
m_s	0,2521	0,3192
m_1	0,0342	0,0177
m_{1e}	0,0737	0,0418
μ_c	46,95	71,13
μ_1	24,03	60,84

riama, kad dėl saulės spinduliuotės tam tikru dydžiu padidėja ūlumos ūlantinio aušimo tempas, t. y. koeficientas m_s o dėl oro maino padidėja atitvarinių konstrukcijų aušimo greitis – koeficientas m_{le} . Skaičiuojant energijos sānaudas, pagal vidaus ir iðorës temperatûras, apskaičiuojamas ir ūlumos kiekis vëdinimui pagal:

$$Q = \frac{nVpc}{3600} \cdot \int_0^t (\theta_i - \theta_e) dt; \quad (7)$$

čia $nVpc$ – orui šildyti reikalingas ūlumos kiekis kJ/h; $\int_0^t (\theta_i - \theta_e) dt$ iðreiðkia plotà, apribotà vidaus ir iðorës oro temperatûrø kreiviø.

3. REZULTATAI

Vidaus oro temperatûros modeliavimo rezultatai bei faktiniai duomenys anksèiau apraðtytiems pastatams priklausomai nuo vidutinës ūlumneðio temperatûros ir lauko oro temperatûros parodyti 1 pav. Modeliavimo laikotarpis – 7 paros: pastatui Nr. 1 – kovo 10–16 d., pastatui Nr. 2 – kovo 1–7 d.

Palyginimas rodo, kad modeliavimo rezultatai gerai atitinka faktinius duomenis (didþiausias skirtumas yra $0,45^\circ\text{C}$). Matyt, ir pastato ūluminës inercijos átaka vidaus oro temperatûrai. Ūlumneðio temperatûra reguliuojama pagal iðorës oro temperatûrą neávertinant pastato ūluminës inercijos, todël patalpo oro temperatûra, krintant ūlumneðio temperatûrai, tam tikrà laikà didëja ir, atvirkðeiai, kylant ūlumneðio temperatûrai, – maþeja. Pastate Nr. 2, natûriniø stebëjimø metu, be reguliavimo pagal iðorës oro temperatûrą, dar buvo vykdomas naktinis vidaus temperatûros paþeminimas, taèiau (3 pav. b) tokio reguliavimo efekto nematyti, nes ir dienà, ir naktà temperatûros yra panaðios.

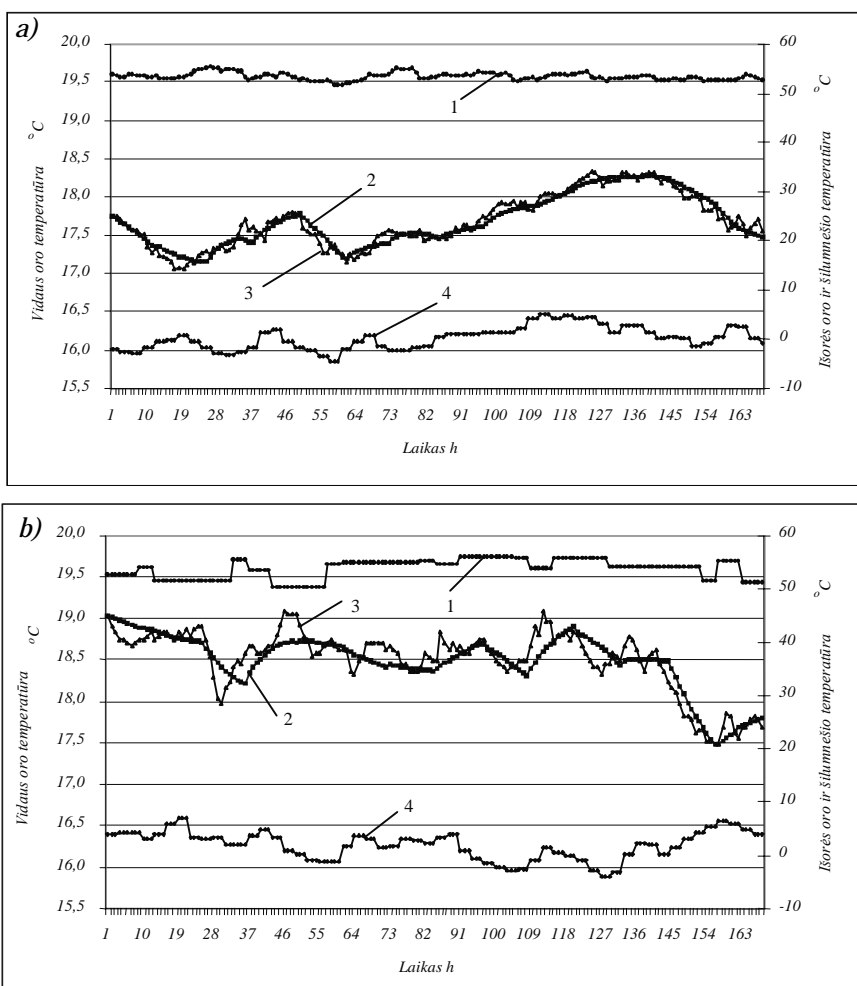
Siekiant nustatyti vëjo greièio ir saulës spinduliuotës áatakà, 2 pav. pateikiamas vidaus oro temperatûros kitimas ūlantinio veiksnio atþvilgiu. Nors atskirais momentais pakitus vëjo greièiui ar saulës spinduliuotei

patalpo temperatûra padidëja arba sumaþeja, tikslios viso pastato vidaus oro temperatûros priklausomybës nuo ūlø veiksnio negalima nustatyti: apatinuose aukðtuose vëjo átaka yra maþesnë, virðutiniuose – didesnë, saulës átaka taip pat skiriiasi ávairiose pastato vietose.

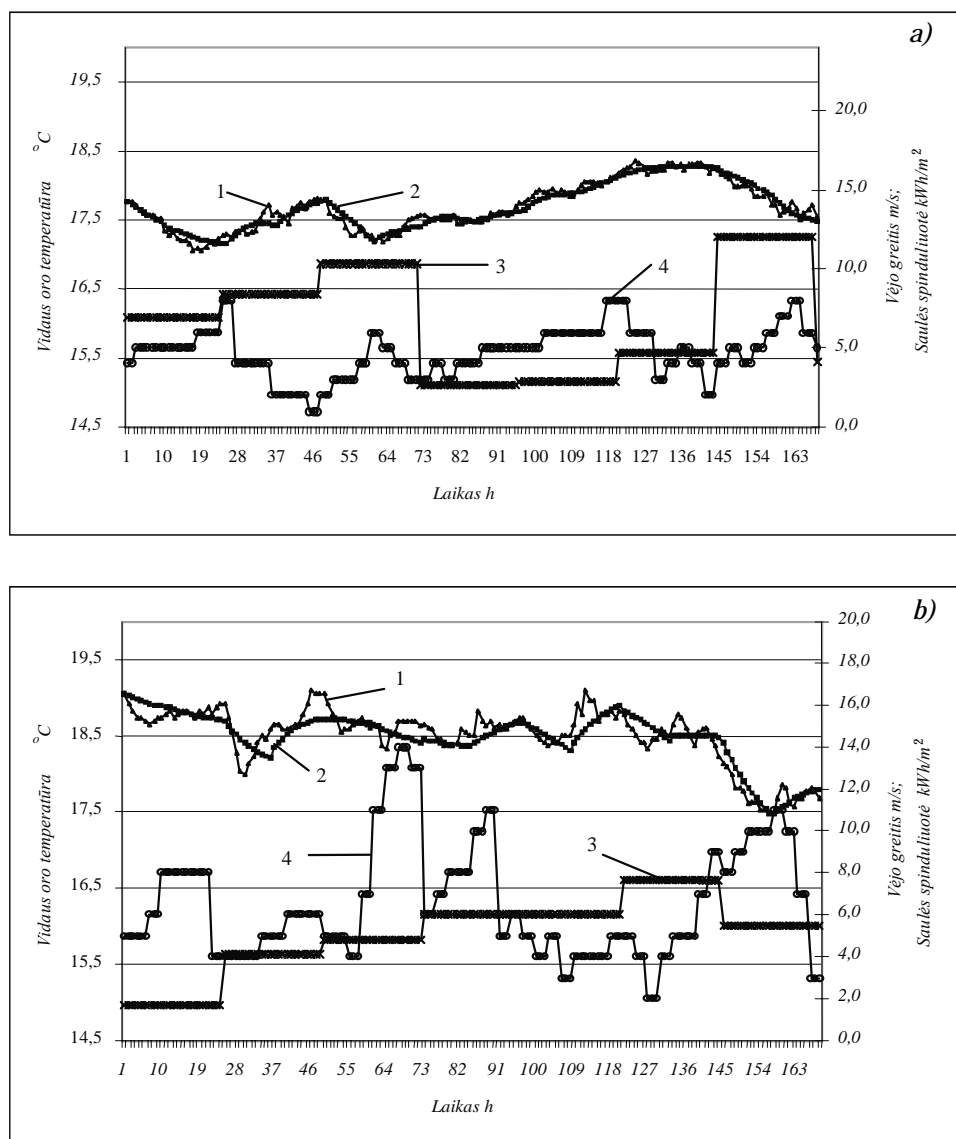
Siekiant tiksliai ávertinti vëjo ar saulës spinduliuotës átakà vidaus oro temperatûrai, reikëtø nagrinëti atskirus butus arba atskiras patalpas, priklausomai nuo jø padëties pastate, nes, kaip parodë natûriniø tyrimai, pvz., pastate Nr. 1, didþiausiai nesandarumai ir paþemintos temperatûros matyti siûliø vietose, ypaè kampinëse bei galiniø sienø siûlëse.

Ūlumos ūlantinio temperatûro kitimas, kai reguliuojama pagal iðorës oro temperatûrą, pateikiamas 3 pav., o apskaiðiuotø ūlumos sànaudø per tirtà laikotarpá palyginimas su faktinëmis – 2 lentelëje.

Pasinaudojus modeliavimo rezultatais, gautais tam atvejui, kai patalpose palaikoma pastovi temperatûra, ir apskaiðiavus realø ūlumos suvartojimà per numatyta laikotarpá matyti, kad apskaiðiuotos ūlumos



1 pav. Vidaus oro temperatûros kitimas priklausomai nuo vidutinës ūlumneðio ir iðorës oro temperatûros: a – pastatas Nr. 1, b – pastatas Nr. 2. 1 – vidutinë ūlumneðio temperatûra, 2 – apibendrinta vidaus oro temperatûra, gauta modeliuojant, 3 – faktinë vidaus oro temperatûra, 4 – iðorës oro temperatûra



2 pav. Vidaus oro temperatūros kitimas vėjo greičio ir saulės spinduliuotės atžvilgiu: a – pastatas Nr. 1, b – pastatas Nr. 2. 1 – faktinė vidaus oro temperatūra, 2 – sumodeliuota vidaus oro temperatūra, 3 – saulės spinduliuotės kitimas, 4 – vėjo greičio kitimas

sànaudos beveik sutampa su faktinëmis, kai nustatyta vidaus oro temperatûra yra 18°C . Taip pat modeliuojant iðskirtos ðilumos sànaudos vëdiniimui, pagal (7), priëmus oro apykaità (pagal faktinius duomenis) $n = 1/h$; jos sudaro atitinkamai pastatui Nr. 1 – 49%, pastatui Nr. 2 – 30% visos suvartotos ðilumos.

2 lentelë. Šilumos sànaudos kWh

Pastatas	Faktinës	Sumodeliuotos	
		bendrosios	vëdiniimui
Nr. 1	19903,74	19933,45	9741,19
Nr. 2	17359,57	17346,82	5279,44

Ðilumos ðaltinio temperatûro kitimas (3 pav.) taip pat gautas tam atvejui, kai patalpose palai-

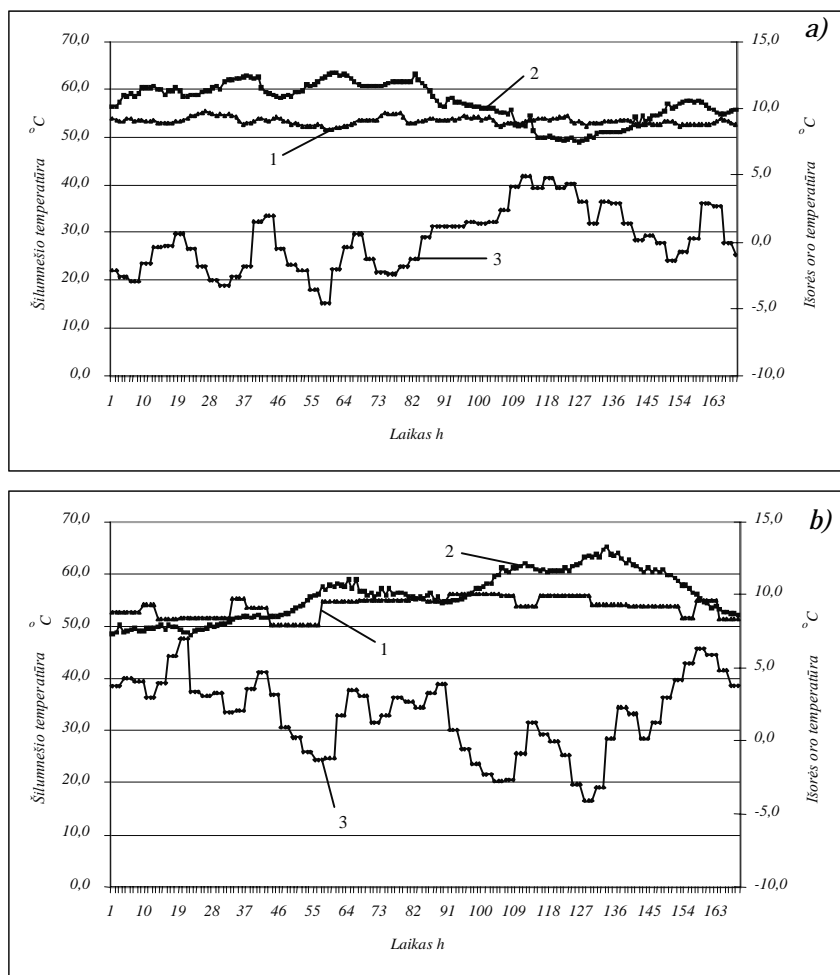
koma pastovi, t. y. 18°C , temperatûra. Ëia matyti didesnis skirtumas tarp sumodeliuotos ir faktinës ðilumineðio temperatûrø, nei tarp atitinkamø vidaus oro temperatûrø. Ðiuos skirtumus galima paaðkinti tuo, kad, pvz., pastate Nr. 1 kartais, o bûtent tais momentais, kai tarp sumodeliuotos ir faktinës temperatûrøs yra didþiausi skirtumai, labai padidëda vo tiekamo ðilumineðio kiekis; pastate Nr. 2 prieþastis gali bûti papildomas naktinis temperatûros paþeminiimas. Kita prieþastis tai, kad 3 pav. 1 kreivë yra natûrinio tyrimo metu iðmatuotø tiekiamo ir graptamo ðilumineðio temperatûro vidutinë reikðmë, o 2 kreivë, gauta modeliuojant, vaizduoja vidutinës visos ðildymo sistemos temperatûros kitimà. Sumodeliuotos ðilumos ðaltinio temperatûros kitimo tendencija yra prieðinga iðorës oro temperatûros kitimo tendencijai: kai iðorës temperatûra krinta, ðilumineðio temperatûra didëja, ir atvirkðeiai, kai iðorës temperatûra kyla, ðilumineðio – maþëja.

4. IŠVADOS

1. Ið pateiktø rezultato galima daryti iðvadà, kad modelis gerai iðreiðkia pastato konstrukciniø sprendimø ir iðoriniø veiksniø átakà jo ðiluminei bûsenai, todël yra tinkamas modeliuoti ir prognozuoti pastato ðiluminius procesus.

2. Siûloma metodika ledþia atliliki visapusiðkà pastato energetiniø charakteristikø analizæ esant kintamam ðilumos mainø reþimui be brangiai kainuojanèiø eksperimento.

3. Daug ðilumos sunaudojama orui ðildyti. Esant vienkartiniams oro pasikeitimui, energijos sànaudos



3 pav. Šiluminės daltinio temperatūros kitimas, kai reguliuojama pagal išorės oro temperatūrą: a – pastatas Nr. 1, b – pastatas Nr. 2. 1 – faktinė vidutinė šiluminė temperatūra, 2 – sumodeliuota šiluminos daltinio temperatūra, 3 – išorės oro temperatūra

vėdinimui kartais prilygsta šilumos nuostoliams per atitvaras. Nagrinėtuose pastatuose šilumos sėnaudos vėdinimui sudaro 30–50% viso energijos sėnaudø.

4. Sudėtinga kompleksiðkai ávertinti saulës spinduliųotés ir vëjo greieio áatakà viso pastato temperatūros kitimui ir energijos sėnaudoms.

Gauta 2004 11 12

Literatûra

- Kossecka E., Kosny J. Influence of insulation configuration on heating and cooling loads in a continuously used buildings // Energy and Buildings. 2002. Vol. 34. P. 321–331.
- Andersen K. K., Madsen H., Hansen L. H. Modelling the heat dynamics of a building using stochastic differential equations // Energy and Buildings. 2000. Vol. 31. P. 13–24.
- Becker R., Paciuk M. Inter-related effects of cooling strategies and building features on energy performance of office buildings // Energy and Buildings. 2002. Vol. 34. P. 25–31.
- Karbauskaitë J., Bistrickas S. Pastato detalus šiluminis auditas (šilumos suvartojo patikrinimas) // Statyba ir architektûra. 2001. Nr. 4. Pp. 6–7; Nr. 7, 8. P. 16–18.

5. Stankevièius V., Karbauskaitë J., Bliûdþius R. Šilumos suvartojo pastatuose analizë // Energetika. 2002. Nr. 2. P. 57–61.

6. Juodvalkis J. Nestacionariniø šilumos mainø pastatuose skaièiavimo metodika ir eksperimentinis patikrinimas. Technikos mokslo kandidato disertacija. Kaunas, 1992. 67 p.

7. Agnikotri G., Singh K. K. System design through MATLAB, Control Toolbox and SIMULINK. Springer-Veslag London Limited, 2001. P. 487.

Jonas Pagojus

MODELLING OF NONSTATIONARY HEAT EXCHANGE IN BUILDINGS

Summary

There are various modelling methods and models to study heat dynamics in buildings, which is very important both for evaluating heating energy consumption and for achieving conditions of environmental comfort. This paper describes the mathematical model allowing to simulate the thermal transients in buildings depending on the geometrical characteristics and thermophysical properties of all building components (exterior walls, internal partitions, ceilings and floors), external temperature variations and supplied heat flow. The model has been verified with real houses. The results for two residential houses are shown. The variations of the indoor temperature, temperature of heating system were simulated; heat consumption for a specified period was calculated. A comparison between the experimental data and the computer simulation results for thermal unsteady state conditions showed a good agreement and proved the reliability of the model.

Key words: building, heat transfer, dynamic model, indoor temperature, heating, computer simulation

Йонас Пагоюс

МОДЕЛИРОВАНИЕ НЕСТАЦИОНАРНОГО ТЕПЛООБМЕНА В ЗДАНИЯХ

Резюме

С использованием математической модели нестационарного теплообмена в зданиях, выраженной системой дифференциальных уравнений, конструктивных решений зданий, наружных условий, работы отопительной системы. Цель настоящей работы – проверить, насколько точно указанная модель отражает реальные условия. Адекватность модели проверена результатами

натурных исследований: температуры теплоносителя, наружного и внутреннего воздуха, расхода тепловой энергии. Объектом исследования стали два многоэтажных жилых здания. Рассчитаны температуры теплоносителя и внутреннего воздуха, а также расход тепловой энергии за определенный период. Установлено, что модель хорошо отражает

влияние всех воздействий на тепловой режим здания и с ее помощью можно анализировать и прогнозировать нестационарный теплообмен в зданиях.

Ключевые слова: здание, теплообмен, динамическая модель, температура воздуха, отопление, компьютерное моделирование